

УДК 539.374

РАСПРОСТРАНЕНИЕ ВОЗМУЩЕНИЙ В УПРУГО-ПЛАСТИЧЕСКОЙ БЕЗДИССИПАТИВНОЙ СРЕДЕ

В. Л. Попов

(кафедра физики низких температур и сверхпроводимости)

В рамках простейшей калибровочной теории изотропного упруго-пластического континуума без диссипации исследован процесс распространения упруго-пластических волн. Показано, что возмущение, индуцированное коротким ударом, с течением времени распадается на шесть групп волн, имеющих различный характер распространения.

Эффективным математическим аппаратом для исследования конденсированных сред с дефектами в последние годы стали калибровочные теории [1, 2]. До сих пор, однако, получено лишь небольшое количество явных решений соответствующих уравнений, что затрудняет их физическую интерпретацию и сравнение с экспериментом. В настоящей работе исследуется калибровочная теория упруго-пластической среды, в которой принимается во внимание только трансляционная пластичность. Будучи линейной, она позволяет полностью определить спектр ее нормальных колебаний и характер распространения возмущений, созданных в начальный момент времени в ограниченной области тела (например, путем удара).

1. Динамические уравнения для бездиссипативной среды можно получить уже из одних только требований локальной калибровочной инвариантности лагранжиана упруго-пластической среды. Будем исходить из обычного лагранжиана изотропного упругого тела:

$$\mathcal{L}_{el} = \int dV \left\{ \frac{1}{2} \rho \frac{\partial u_i}{\partial t} \frac{\partial u_i}{\partial t} - \frac{\mu}{2} \left(\frac{\partial u_i}{\partial x_k} \frac{\partial u_i}{\partial x_k} + \frac{\partial u_i}{\partial x_k} \frac{\partial u_k}{\partial x_i} \right) - \frac{\lambda}{2} \frac{\partial u_i}{\partial x_i} \frac{\partial u_k}{\partial x_k} \right\}. \quad (1)$$

Здесь $\mathbf{u}(\mathbf{x})$ — вектор смещения точки с начальной координатой \mathbf{x} ; ρ — плотность среды; λ , μ — коэффициенты Ламе; dV — элемент объема. При введении пластических степеней свободы, описываемых тензором пластической дисторсии β_{ik} , первый член в (1), описывающий кинетическую энергию, не изменяется. Второй и третий члены, описывающие потенциальную энергию, сохраняют свою форму, но вместо полной дисторсии $\partial u_i / \partial x_k$ в них будет стоять теперь только ее упругая часть

$$\beta_{ik}^{el} = \frac{\partial u_i}{\partial x_k} - \beta_{ik}.$$

Помимо этих слагаемых необходимо добавить в лагранжиан члены, описывающие кинетическую и потенциальную энергию самих дефектов. Эти члены должны представлять собой инварианты, образованные

с помощью временных и пространственных производных тензора β_{ik} . Ограничиваясь членами второго порядка по β_{ih} , получим для них

$$\mathcal{L}' = \int \left\{ \frac{B}{2} \dot{\beta}_{km} \dot{\beta}_{km} - \frac{C}{2} \alpha_{km} \alpha_{km} \right\} dV,$$

где

$$\alpha_{km} = \text{rot } \hat{\beta} = e_{ijk} \frac{\partial \beta_{jm}}{\partial x_i}$$

— тензор плотности дислокаций; e_{ijk} — полностью антисимметричный единичный тензор; B, C — константы материала.

Таким образом, простейший вид полного лагранжиана упруго-пластической среды есть

$$\begin{aligned} \mathcal{L}_{\text{el-pl}} = \int dV \left\{ \frac{1}{2} \rho \frac{\partial u_i}{\partial t} \frac{\partial u_i}{\partial t} - \frac{\mu}{2} \left(\frac{\partial u_i}{\partial x_k} - \beta_{ik} \right) \left(\frac{\partial u_i}{\partial x_k} - \beta_{ik} \right) - \right. \\ \left. - \frac{\mu}{2} \left(\frac{\partial u_i}{\partial x_k} - \beta_{ik} \right) \left(\frac{\partial u_k}{\partial x_i} - \beta_{ki} \right) - \lambda \left(\frac{\partial u_i}{\partial x_i} - \beta_{ii} \right) \left(\frac{\partial u_k}{\partial x_k} - \beta_{kk} \right) + \right. \\ \left. + \frac{B}{2} \dot{\beta}_{km} \dot{\beta}_{km} - \frac{C}{2} \alpha_{km} \alpha_{km} \right\}. \end{aligned} \quad (2)$$

Роль калибровочных полей в нем играют пластические дисторсии β_{ik} . Для несжимаемых при пластической деформации сред необходимо наложить на тензор β_{ih} условие сохранения объема:

$$\text{sp } \beta_{ij} = \beta_{kk} = 0. \quad (3)$$

2. Варьируя лагранжиан (2) с учетом условия (3) по u_i и β_{ij} , нетрудно получить следующую систему динамических уравнений упруго-пластической среды:

$$\rho \ddot{u}_i - \mu \frac{\partial^2 u_i}{\partial x_k \partial x_k} - \lambda \frac{\partial^2 u_k}{\partial x_i \partial x_k} + \mu \frac{\partial \beta_{ik}}{\partial x_k} = 0, \quad (4)$$

$$B \ddot{\beta}_{ij} - \mu \frac{\partial u_i}{\partial x_j} - \lambda \frac{\partial u_k}{\partial x_k} \delta_{ij} + \mu \beta_{ij} - C e_{hilm} e_{lpm} \frac{\partial^2 \beta_{pj}}{\partial x_k \partial x_l} + \eta \delta_{ik} \delta_{jk} = 0, \quad (5)$$

$$\beta_{kk} = 0, \quad (6)$$

где η — неопределенный множитель Лагранжа.

Решение системы (4) — (6) ищем в виде

$$u_i, \beta_{ij} \sim \exp \{-i\omega t + ikr\}.$$

Получающееся при этом секулярное уравнение одиннадцатого порядка относительно ω^2 имеет корни

$$\omega_{1,2}^2 = \mu/B, \quad (7)$$

$$\omega_{3,4,9}^2 = (\mu + Ck^2)/B, \quad (8)$$

$$\omega_{5,6}^2 = \omega_{7,8}^2 = \frac{\mu}{2B} + \frac{\mu}{2\rho} k^2 \pm \sqrt{\left(\frac{\mu}{2B} + \frac{\mu}{2\rho} k^2 \right)^2 - \frac{\mu C}{\rho B} k^4}, \quad (9)$$

$$\omega_{9,10}^2 = \frac{1}{2} \left[\frac{\mu}{B} + \frac{\lambda + \mu}{\rho} k^2 \right] \pm \sqrt{\frac{1}{4} \left[\frac{\mu}{B} + \frac{\lambda + \mu}{\rho} k^2 \right]^2 - \frac{\lambda \mu}{\rho B} k^2}. \quad (10)$$

Формулы (7) — (10) определяют законы дисперсии всех одиннадцати

ветвей нормальных колебаний рассматриваемой модели упруго-пластической среды. Ход соответствующих дисперсионных кривых показан на рис. 1. Через ω_0 обозначена частота «оптических колебаний» среды:

$$\omega_0 = \sqrt{\mu/B}.$$

3. Дисперсионные кривые возбуждений рассматриваемой модели имеют три характерные скорости: $c_{\parallel} = \sqrt{(\lambda + \mu)/\rho}$, $c_{\perp} = \sqrt{\mu/\rho}$ и $c^* = \sqrt{C/B}$. Первые две из них имеют смысл скоростей продольной и поперечной звуковых волн в упругом континууме (если бы не было связи

Рис. 1. Дисперсионные кривые нормальных мод, вычисленные при $\mu=0,85$, $\lambda=2,3$, $B=0,19$, $C=0,05$; $\rho=1$. Цифры указывают порядковые номера мод в соответствии с формулами (7)–(10)

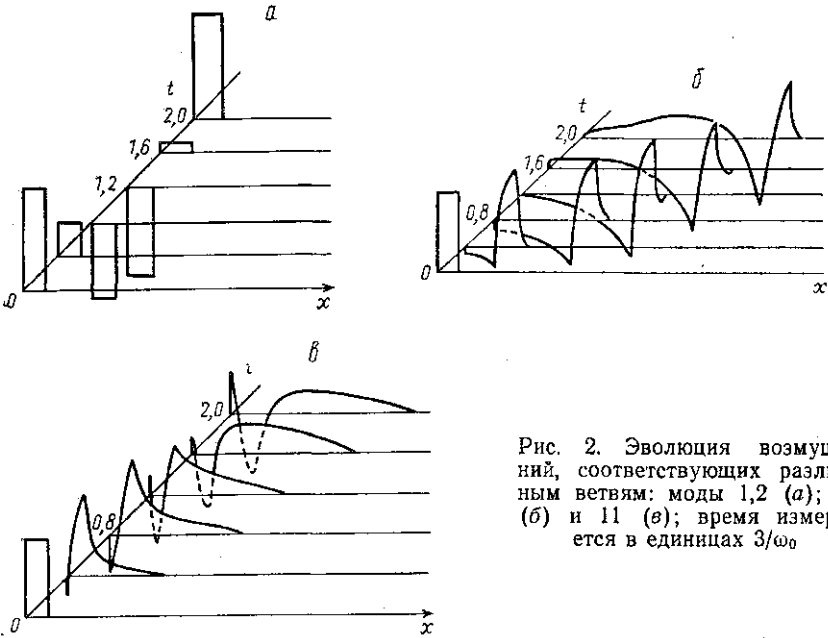
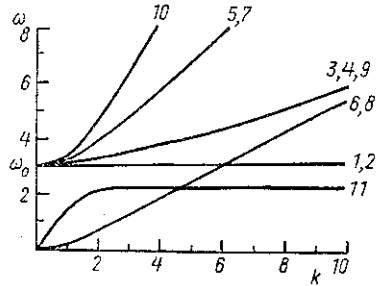


Рис. 2. Эволюция возмущений, соответствующих различным ветвям: моды 1,2 (а); 10 (б) и 11 (в); время измеряется в единицах $3/\omega_0$

с пластическими степенями свободы). Скорость же c^* не имеет аналога в теории упругости. Ее физический смысл — скорость распространения возмущений в «дислокационном газе». Моды ω_{10} , $\omega_{5,7}$ и $\omega_{3,4,9}$ выходят при $k \rightarrow \infty$ на асимптоты, которым соответствуют скорости c

$$\sqrt{c_1^2/2 + \sqrt{c_1^4/4 - c_1^2 c^{*2}}} \text{ и } c^*.$$

Таким образом, мода 10 асимптотически (при $k \rightarrow \infty$) представляет собой продольный звук, моды 5,7 представляют собой суперпозицию поперечных упругих и пластических колебаний, моды же 3, 4, 9 в пределе $k \rightarrow \infty$ являются чисто пластическими.

4. Рассмотрим теперь задачу о распространении возмущений, созданных в начальный момент времени в узкой области вблизи поверхности (путем короткого удара). Будем считать, что первоначально импульс имеет прямоугольную форму. Численное решение уравнений (4)—(6) позволяет найти форму импульса в последующие моменты времени. Очевидно, что возмущения, соответствующие модам 1, 2, не имеющим дисперсии, не распространяются в глубь среды (рис. 2, а). Распространение возмущения, соответствующего ветви спектра ω_{10} , представлено на рис. 2, б. Аналогичный характер распространения имеют возмущения, соответствующие ветвям $\omega_{5,7}$, $\omega_{3,4}$ и ω_9 . Распространение возмущения, соответствующего ветви ω_{11} , изображено на рис. 2, в.

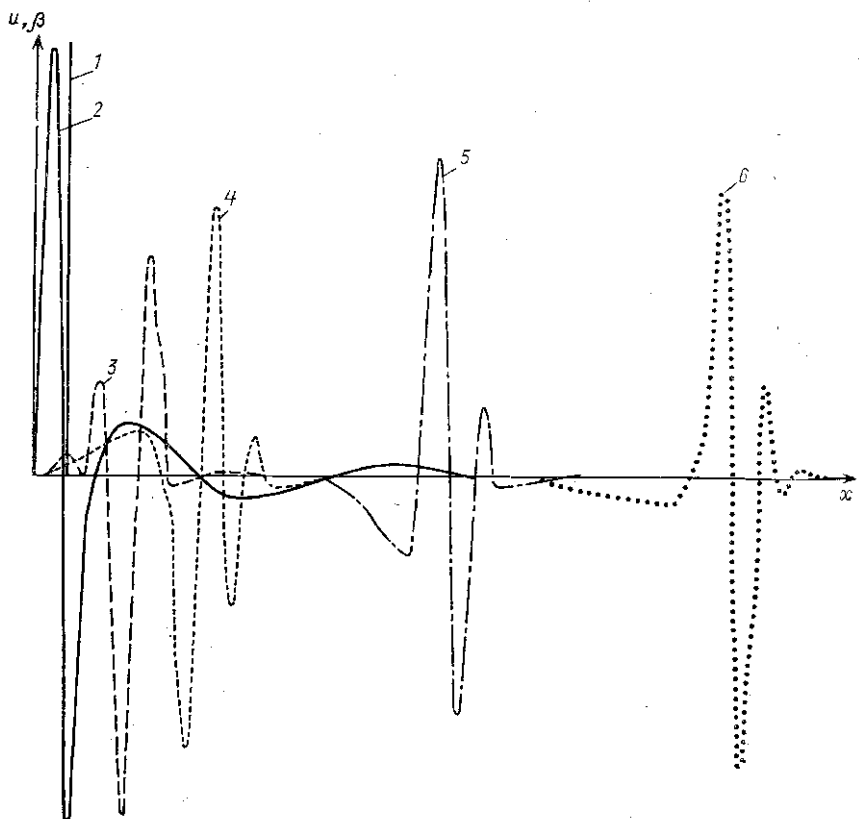


Рис. 3. Распространение возмущения при ударе: кривая 1 — вид возмущения при $t=0$, остальные кривые — возмущения, соответствующие разным модам, в момент времени $t=3\pi/\omega_0$: 2 — ω_{11} ; 3 — $\omega_{3,4,9}$; 4 — $\omega_{6,8}$; 5 — $\omega_{5,7}$; 6 — ω_{10}

По прошествии длительного времени возмущение разбивается на шесть групп волн, имеющих различную скорость распространения как фронта, так и области максимальной деформации (рис. 3).

Выводы

Анализ спектра нормальных колебаний изотропного упруго-пластического тела показывает, что оно имеет одиннадцать ветвей нормальных колебаний (вместо трех у упругого континуума), причем раз-

личных дисперсионных уравнений имеется только шесть. Соответственно этому возбуждение распадается со временем на шесть групп волн.

Автор благодарен Н. В. Чертовой и Ю. В. Гриняеву за обсуждение рассмотренных проблем.

ЛИТЕРАТУРА

[1] Кадич А., Эделен Д. Калибровочная теория дислокаций и дисклинаций. М., 1987. [2] Гриняев Ю. В., Чертова Н. В. // Изв. вузов, Физика. 1990. № 2. С. 36.

Поступила в редакцию
29.06.90